



Albarossa

Carlomagno A., Ferrandino A., Ruffa P., Schneider A., Novello V. (2014) - Albarossa . In: Italian Vitis Database, www.vitisdb.it, ISSN 2282-006X
 release 13/07/2015, ultimo aggiorn. 04/09/2015 url <http://vitisdb.it/accessions/show/15921>

Informazioni gestite da

Dipartimento di Scienze Agrarie, Forestali e Alimentari - Università degli Studi di Torino

Ringraziamenti

Ager IVD; CNR - IVV di Grugliasco (TO)

Informazioni generali

nome Albarossa
codice ITA424-608GC
nazione di selezione Italia
regione di selezione non disponibile
provincia di selezione non disponibile
località di selezione non disponibile
istituzione custode Dipartimento di Scienze Agrarie, Forestali e Alimentari - Università degli Studi di Torino
collezione Campo collezione di Grinzane (CN)

Varietà & clone

tipo di origine incrocio intraspecifico
genere Vitis
specie Vitis vinifera
sub specie sativa
varietà Albarossa
codice della varietà IVD-var_281
clone non disponibile
trueness to type accertato con rilievi morfologici e microsatelliti

Trueness to type

True-name

confermato **si**

►bibliografia correlata (1)

| autori | anno | titolo | rivista | citazione |
|---------------------|------|-----------|--|--|
| Bovio M., Eynard I. | 1989 | Albarossa | Principali vitigni da vino coltivati in Italia - Nuova serie, Vol. I, ISV di Conegliano Veneto- Ministero dell'Agricoltura e delle Foreste, 1989 | Albarossa di N. Bovio ed I. Eynard da "Albarossa", in Principali vitigni da vino coltivati in Italia - Nuova serie, Vol. I, ISV di Conegliano Veneto- Ministero dell'Agricoltura e delle Foreste, 1989 |

Trueness to type accertato con rilievi morfologici (ampelografici)

accertamento con rilievi morfologici (ampelografici) **accertato**

►bibliografia correlata (1)

| autori | anno | titolo | rivista | citazione |
|---------------------|------|-----------|--|--|
| Bovio M., Eynard I. | 1989 | Albarossa | Principali vitigni da vino coltivati in Italia - Nuova serie, Vol. I, ISV di Conegliano Veneto- Ministero dell'Agricoltura e delle Foreste, 1989 | Albarossa di N. Bovio ed I. Eynard da "Albarossa", in Principali vitigni da vino coltivati in Italia - Nuova serie, Vol. I, ISV di Conegliano Veneto- Ministero dell'Agricoltura e delle Foreste, 1989 |

Trueness to type accertato con microsatelliti

accertamento con microsatelliti **accertato**

►bibliografia correlata (1)

| autori | anno | titolo | rivista | citazione |
|---|------|---|-------------------|---|
| Torello Marinoni D., Raimondi S., Rolle L. and Mannini F. | 2009 | Genetic and phenolic characterization of several intraspecific crosses (Vitis vinifera L.) registered in the Italian National Catalogue | Acta Horticulturæ | Proc. IX Intl. Conf. on grape Genetics and Breeding. 827: 485-492 |

loci confrontati **12**

loci identici **12**

discrepanze

n.d.

Profilo microsatellite standardizzato

| loci: | loci predefiniti (9) | | | | | | | | | | | | | | | | | |
|-------------|------------------------|-----|-------|-----|-------|-----|--------|-----|---------|-----|---------|-----|--------|-----|--------|-----|--------|-----|
| locus SSR: | VVS2 | | VVMD5 | | VVMD7 | | VVMD27 | | VrZAG62 | | VrZAG79 | | VVMD25 | | VVMD28 | | VVMD32 | |
| allele: | A1 | A2 | A1 | A2 | A1 | A2 | A1 | A2 | A1 | A2 | A1 | A2 | A1 | A2 | A1 | A2 | A1 | A2 |
| dimensione: | 133 | 137 | 225 | 227 | 239 | 249 | 189 | 195 | 194 | 200 | 251 | 259 | 240 | 242 | 239 | 263 | 273 | 273 |

Immagini



germoglio



foglia



foglia pagina superiore



foglia pagina inferiore







grappolo



acino

Ampelografia

| OIV | descrizione | valore | | immagini |
|-------|--|--------|---|---|
| 004 | Giovane germoglio: densità dei peli striscianti dell'apice | 5 / 7 | media / elevata |  |
| 007 | Germoglio: colore del lato dorsale degli internodi | 1 / 2 | verde / verde e rosso | |
| 008 | Germoglio: colore del lato ventrale degli internodi | 1 | verde | |
| 016 | Germoglio: numero di viticci consecutivi | 1 | 2 o meno | |
| 051 | Foglia giovane: colore della pagina superiore del lembo (4 a foglia) | 1 / 2 | verde / giallo |  |
| 053 | Foglia giovane: densità peli striscianti tra le nervature principali della pagina inferiore (4a foglia) | 5 / 7 | media / elevata | |
| 067 | Foglia adulta: forma del lembo | 3 | pentagonale | |
| 068 | Foglia adulta: numero dei lobi | 3 | cinque | |
| 070 | Foglia adulta: distribuzione pigmentazione antocianica nervature principali pagina superiore | 1 | assente | |
| 075 | Foglia adulta: bollosità della pagina superiore del lembo | 3 | bassa | |
| 079 | Foglia adulta: grado di apertura / sovrapposizione dei bordi del seno peziolare | 5 / 7 | chiuso / sovrapposto | |
| 080 | Foglia adulta: forma della base del seno peziolare | 1 | a U | |
| 081-1 | Foglia adulta: denti del seno peziolare | 1 | assenti | |
| 081-2 | Foglia adulta: base del seno peziolare delimitata dalla nervatura | 1 | non delimitata | |
| 083-2 | Foglia adulta: denti nei seni laterali superiori | 1 / 9 | assenti / presenti | |
| 084 | Foglia adulta: densità dei peli striscianti tra le nervature principali sulla pagina inferiore del lembo | 1 | nulla o molto bassa | |
| 087 | Foglia adulta: densità dei peli eretti sulle nervature principali della pagina inferiore del lembo | 5 | media | |
| 151 | Fiore: organi sessuali | 3 | stami completamente sviluppati e gineceo completamente sviluppato |  |
| 155 | Tralcio: fertilità delle gemme basali (gemme 1-3) | 1 | molto bassa (<0,5) | |
| 202 | Grappolo: lunghezza (escluso il peduncolo) | 3 / 5 | corto / medio | |
| 204 | Grappolo: compattezza | 5 / 7 | medio / compatto | |
| 208 | Grappolo: forma | 2 | conico | |
| 220 | Acino: lunghezza | 5 | medio |  |
| 221 | Acino: larghezza | 3 | stretto | |
| 223 | Acino: forma | 3 | ellissoidale largo | |
| 225 | Acino: colore della buccia | 6 | blu nero | |
| 236 | Acino: particolarità dell'aroma | 1 | nessuna | |
| 241 | Acino: sviluppo dei vinaccioli | 3 | completo | |

Ampelometria



foglia ampelometrica

OIV

nessun descrittore presente per Albarossa

Superampelo

| descrittore | distanze | |
|---|----------|---------------------|
| | valore | deviazione standard |
| Lunghezza del picciolo | 100.860 | 10.010 |
| Lunghezza della foglia compreso il picciolo | 232.390 | 8.240 |
| Distanza tra gli estremi delle nervature N2 e N2' | 174.390 | 20.200 |
| Lunghezza della nervatura N1 | 131.530 | 7.000 |
| Distanza tra gli estremi delle nervature N4 e N4' | 66.620 | 11.620 |
| Distanza tra gli estremi delle nervature N3 e N3' | 171.400 | 15.310 |
| Lunghezza della nervatura N2 | 115.220 | 9.140 |
| Larghezza del seno peziolare / Distanza tra i punti SP e SP' | -16.090 | 4.850 |
| Lunghezza della nervatura N3 | 87.460 | 8.960 |
| Lunghezza della nervatura N2' | 117.810 | 9.790 |
| Lunghezza della nervatura N3' | 88.790 | 9.450 |
| Distanza tra estremità di N2 e estremità della prima ramificazione laterale di N2 | 60.130 | 12.950 |
| Distanza tra estremità di N2' e estremità della prima ramificazione laterale di N2' | 66.040 | 9.010 |
| Distanza dal seno peziolare al seno inferiore destro | 43.300 | 5.850 |
| Distanza dal seno peziolare al seno inferiore sinistro | 47.980 | 11.630 |
| Distanza dal seno peziolare al seno superiore destro | 46.020 | 10.710 |
| Distanza dal seno peziolare al seno superiore sinistro | 42.780 | 4.810 |
| Nervatura N3, lunghezza dal seno peziolare alla nervatura N4 | 11.760 | 2.490 |
| Nervatura N3', lunghezza dal seno peziolare alla nervatura N4' | 12.510 | 1.970 |
| Lunghezza della nervatura N5 | 23.650 | 2.950 |
| Lunghezza della nervatura N5' | 22.870 | 3.380 |
| Lunghezza della nervatura N4 | 54.690 | 3.840 |
| Lunghezza della nervatura N4' | 54.270 | 5.930 |
| Larghezza della foglia | 178.420 | 16.010 |
| Lunghezza della foglia | 188.970 | 12.240 |

| angoli | | |
|--|--------|---------------------|
| descrittore | valore | deviazione standard |
| Angolo tra N1 e N2 misurato alla prima biforcazione | 58.910 | 4.020 |
| Angolo tra N2 e N3 misurato alla prima biforcazione | 56.260 | 3.930 |
| Angolo tra N1 e N2' misurato alla prima biforcazione | 60.150 | 3.760 |
| Angolo tra N3 e N4 alla prima biforcazione di N3 | 56.270 | 4.560 |
| Angolo tra N2' e N3' misurato alla prima biforcazione | 54.980 | 6.390 |
| Angolo tra N1 e N2 misurato agli estremi delle nervature | 47.220 | 5.580 |
| Angolo tra N3' e N4' | 52.840 | 2.820 |
| Angolo tra N2 e N3 misurato agli estremi delle nervature | 53.230 | 8.350 |
| Angolo tra N1 e N2' misurato agli estremi delle nervature | 49.570 | 2.710 |
| Angolo tra N3 e N4 misurato agli estremi delle nervature | 47.730 | 4.850 |
| Angolo tra N2' e N3' misurato agli estremi delle nervature | 55.270 | 6.230 |
| Angolo di apertura del seno peziolare misurato a SP e SP' | 34.590 | 10.780 |
| Angolo tra N3' e N4' misurato agli estremi delle nervature | 44.310 | 3.180 |
| Angolo tra S e S' con centro in N1 | 28.510 | 5.680 |
| Angolo tra D e D' con centro in N1 | 97.670 | 6.670 |
| Angolo tra I e I' con centro in N1 | 37.880 | 5.310 |

| rapporti | | |
|--|--------|---------------------|
| descrittore | valore | deviazione standard |
| Rapporto tra Lunghezza e larghezza della foglia | 1.060 | 0.060 |
| Rapporto tra la somma degli angoli a' + b' e la somma della distanza tra il seno peziolare e il seno superiore sinistro OS' e il seno peziolare e il seno inferiore sinistro OI' | 0.020 | 0.000 |
| Rapporto tra la somma degli angoli a + b e la somma della distanza tra il seno peziolare e il seno superiore destro OS e il seno peziolare e il seno inferiore destro OI | 0.020 | 0.000 |
| Rapporto tra l'altezza e la base dei denti del lato sinistro | 0.650 | 0.080 |
| Rapporto tra l'altezza e la base dei denti del lato destro | 0.640 | 0.080 |
| Rapporto tra l'altezza e la base del dente all'estremità della nervatura N2' | 13.040 | 2.220 |
| Rapporto tra l'altezza e la base del dente all'estremità della nervatura N2 | 14.740 | 2.020 |
| Rapporto tra l'altezza e la base del dente all'estremità della nervatura N4 | 8.290 | 0.980 |
| Media della base dei denti del lato sinistro | 9.650 | 1.590 |
| Media della base dei denti del lato destro | 9.620 | 1.050 |
| Media dell'altezza dei denti del lato sinistro | 6.260 | 1.350 |
| Rapporto tra l'altezza e la base del dente all'estremità della nervatura N4' | 7.290 | 0.980 |
| Media dell'altezza dei denti del lato destro | 6.200 | 1.140 |